

# Статистическая теория турбулентности в несжимаемой жидкости в вейвлет-представлении

М.В.Алтайский<sup>1</sup> Н.Е.Капуткина<sup>2</sup> М.Гнатич<sup>3</sup>

<sup>1</sup>ИКИ РАН, Москва

<sup>2</sup>Университет 'МИСиС', Москва

<sup>3</sup>ОИЯИ, Дубна

Конференция памяти С.С.Моисеева "Трансформация волн, когерентные структуры и турбулентность"

26 ноября 2024, ИКИ РАН, Москва



Статистическая теория турбулентности вязкой несжимаемой жидкости переформулирована в терминах масштабно-зависимых полей  $\mathbf{u}_a(x)$ , определенных как вейвлет-коэффициенты поля скорости  $\mathbf{u}$  в точке  $x$  при пространственном разрешении  $a$ . Применяв методы квантовой теории поля к производящему функционалу случайных полей  $\mathbf{u}_a(x, t, \cdot)$ , мы показали конечность корреляционных функций  $\langle \mathbf{u}_{a_1}(x_1) \dots \mathbf{u}_{a_n}(x_n) \rangle$  для случайной силы, действующей на внешнем масштабе турбулентности ( $L$ ). Рассмотрена модель трехмерной турбулентности. Модель не требует регуляризации, а ренормгрупповая симметрия представляет собой симметрию между флуктуациями поля скорости различных масштабов. Суммирование по масштабам проводилось от внешнего масштаба  $L$  до масштаба наблюдения  $A \gg l$ . Турбулентные поправки к вязкости и парному коррелятору скорости вычислены в однопетлевом приближении. Это дает зависимость турбулентной вязкости от масштаба наблюдения и описывает зависимость от масштаба корреляций поля скорости.

- Квантовополевой подход к теории турбулентности
- Колмогоровская теория турбулентности
- Ренормализационная группа
- Разделение флуктуаций различных масштабов с помощью вейвлет-преобразования
- Конечные полевые теории на основе масштабозависимых полей  $u_a(x, t)$
- Ренормгруппа в формализме масштабозависимых полей
- Турбулентная вязкость

## References:

M.V.Altaisky, M.Hnatch and N.E.Kaputkina,  
Renormalization of viscosity in wavelet-based model of turbulence,  
*Phys. Rev. E* **98**(2018)033116

## Турбулентность:

Хаотическое движение жидкости, возникающее из ламинарного при превышении некоторых значений параметров

Симметрии:

однородность  $P[\mathbf{u}(t, \mathbf{x} + \Delta \mathbf{x})] = P[\mathbf{u}(t, \mathbf{x})]$

стационарность  $P[\mathbf{u}(t + \Delta t, \mathbf{x})] = P[\mathbf{u}(t, \mathbf{x})]$

изотропия  $P[\mathbf{u}(t, \hat{R}(\theta)\mathbf{x})] = P[\mathbf{u}(t, \mathbf{x})]$

эргодичность

$$\langle f[\mathbf{u}(t, \mathbf{x})] \rangle = \lim_{T \rightarrow \infty} \frac{1}{T} \int_0^T f[\mathbf{u}(t, \mathbf{x})] dt$$

Турбулентность в несжимаемой жидкости  $\nabla \cdot \mathbf{u} = 0$  описывается уравнениями Навье-Стокса со случайной силой  $\mathbf{f}(t, \mathbf{x}, \cdot)$  в правой части

$$\frac{\partial \mathbf{u}}{\partial t} + (\mathbf{u} \cdot \nabla) \mathbf{u} = \nu \Delta \mathbf{u} - \nabla p + \mathbf{f}(t, \mathbf{x}, \cdot)$$

Reynolds similarity law [O.Reynolds, *Phil. Trans. R. Soc. Lond. A*, **186**(1895)123-164]: Let

$$\tilde{u} = \frac{u}{V}, \quad \tilde{x}_i = \frac{x_i}{L}, \quad \tilde{t} = t \frac{V}{L}, \quad \tilde{P} = \frac{P}{\rho V^2}$$

then the flows of the same type with equal Reynolds numbers  $Re = \frac{VL}{\nu}$  are similar to each other.

Гипотезы Колмогорова (K41) *ДАН СССР*, 1941, т.30, сс. 9-13

I. Для локально изотропной турбулентности  $n$ -точечное распределение поля скорости  $F_n$  однозначно определяется кинематической вязкостью  $\nu$  и скоростью диссипации энергии на единицу массы  $\varepsilon$ .

II. В инерционном интервале, т.е., когда масштаб наблюдения  $l$  существенно превосходит колмогоровский масштаб  $l_0 = \nu^{3/4}/\varepsilon^{1/4}$ , распределения однозначно определяются скоростью диссипации энергии на единицу массы  $\varepsilon$ , и не зависят от вязкости  $\nu$ .

# Структурные функции и спектр энергии

Спектр энергии турбулентных пульсаций

$$E = \int |u(\mathbf{x})|^2 d^3\mathbf{x} = \int_0^\infty E(k) dk$$

где

$$E(k) = \int_{|\mathbf{k}|=k} \langle u(\mathbf{k})u(-\mathbf{k}) \rangle d^3\mathbf{k}$$

Колмогоровский анализ размерностей дает

$$E(k) = C\varepsilon^{2/3} k^{-5/3}$$

Для структурных функций поля скорости

$$S_q(l) = \langle |u(\mathbf{x}) - u(\mathbf{x} + l)|^q \rangle$$

подсчет размерностей дает

$$S_q(l) \propto (\varepsilon l)^{q/3}, \quad \delta u(l) \propto l^{1/3}$$

Поправки к колмогоровскому скейлингу на масштабе наблюдения  $l$  должны зависеть от  $l/l_0$  и  $l/L$

# Квантовополевой подход к турбулентности

Турбулентность = случайный процесс, описываемый СДУ  $\hat{V}[u(x)] = f(x, \cdot)$ , где  $\hat{V}$  – нелинейный оператор, а  $f(x, \cdot)$  – случайная сила. Задача заключается в конструировании *производящего функционала*  $G[A_u(x)]$ , такого, что статистические моменты решения  $u(x, \cdot)$  могут быть получены варьированием:

$$\langle u(x_1) \dots u(x_n) \rangle = \frac{\delta^n G[A_u(x)]}{\delta A_u(x_1) \dots \delta A_u(x_n)} \Big|_{A_u=0}$$

Производящий функционал может быть записан в виде

$$G[A_u] = \int e^{\int A_u(x)u(x)dx} P[u(x)] \mathcal{D}u,$$

где вероятность конфигурации  $u(x)$  определяется из уравнений движения со случайной силой в правой части:

$$P[u(x)] \sim \int \delta(\hat{V}[u(x)] - f(x)) \rho[f] \mathcal{D}f, \quad \rho[f] \sim e^{-\frac{fD^{-1}f}{2}}$$

С помощью введения дополнительного поля  $u'$  можно записать дельта-функцию от уравнений движения в виде экспоненты:  $\delta(\cdot) \sim \int \mathcal{D}u'(x) \exp(\int dx u'(x)(\cdot))$ . Для уравнений Навье-Стокса это приводит к производящему функционалу вида

$$G[A] = \int \exp\left(S[\Phi] + \int d^d x dt A \Phi\right) \mathcal{D}\Phi \equiv e^{W[A]},$$

где  $\Phi = (u(t, \mathbf{x}), u'(t, \mathbf{x}))$  – дублет полей;  $u'(t, \mathbf{x})$  – Мартин-Сиджиа-Роузовское поле.  $A(t, \mathbf{x}) \equiv (A_u, A_{u'})$  – произвольный аргумент варьирования. "Действие" имеет вид

$$S[\Phi] = \frac{1}{2} \int u' D u' + \int u' [-\partial_t u + \nu \Delta u - (u \cdot \partial) u],$$

где  $D(x - x') = \langle f(x) f(x') \rangle$ . Давление исключается с помощью условия несжимаемости. Детерминант  $\|\delta V / \delta u\|$  можно отбросить путем переопределения функций Грина на разрыве L.Ts.Adzhemyan, A.N. Vasil'ev and Yu.M. Pis'mak, *Teor. Mat. Phys.* **57**(1983) pp.1131-1143(en), 268-281(ru)



# Выбор случайной силы

Работа случайной силы  $D(x - x') = \langle f(x)f(x') \rangle$  должна компенсировать диссипацию энергии  $\langle uf \rangle = \varepsilon$ . Случайная сила считается  $\delta$ -коррелированной по времени, и сконцентрированной на ИК масштабах в пространстве.

$$\langle \dot{u}_i(t, \mathbf{x}) u_i(t, \mathbf{x}) \rangle = \int e^{i\mathbf{x}(\mathbf{k}_1 + \mathbf{k}_2)} \langle f_i(t, \mathbf{k}_1) \int^t f_i(\tau, \mathbf{k}_2) d\tau \rangle \frac{d^3 \mathbf{k}_1}{(2\pi)^3} \frac{d^3 \mathbf{k}_2}{(2\pi)^3}$$

для  $\delta$ -коррелированной случайной силы :

$$\langle f_i(\mathbf{x}) f_j(\mathbf{x}') \rangle = \int \frac{d^4 k}{(2\pi)^4} d(k) P_{ij}(\mathbf{k}) e^{i\mathbf{k}(\mathbf{x} - \mathbf{x}')}, \text{ где } P_{ij}(\mathbf{k}) = \delta_{ij} - \frac{k_i k_j}{k^2},$$

имеем

$$\varepsilon = \int \frac{d^3 \mathbf{k}}{(2\pi)^3} d(k),$$

при нормировке  $G_0(0, \mathbf{x}) = \frac{1}{2}$

Обычно выбирают  $\langle f(k)f(k') \rangle \sim \delta(\omega + \omega')\delta(\mathbf{k} + \mathbf{k}')k^{-y}$ ;

$y > -2$  для сильно неравновесных течений V.Yakhot, S.Orszag.  
*J.Sci.Comp.* 1(1986)3

# Фейнмановские разложения

Действие  $S$  состоит из  $S_0[\Phi] = \frac{\Phi K \Phi}{2}$

$$K = \begin{pmatrix} 0 & \partial_t + \hat{L} \\ -\partial_t + \hat{L} & D \end{pmatrix}, \quad \hat{L} = \nu \Delta,$$

и нелинейного взаимодействия

$$V[\Phi] = -\frac{1}{2} u_i' [\delta_{is} \nabla_j + \delta_{ij} \nabla_s] u_j u_s$$

Функциональное интегрирование по  $\Phi$ , выполненное со свободным действием  $S_0$ , дает матрицу вторых моментов  $W[J] = \frac{JK^{-1}J}{2}$ , где

$$K^{-1} = \begin{pmatrix} \frac{D}{|\partial_t - \hat{L}|^2} & (\partial_t - \hat{L})^{-1} \\ (\partial_t - \hat{L})^{-1T} & 0 \end{pmatrix}.$$

$$\overset{u}{\text{---}} \text{---} \overset{u'}{\text{---}}$$

$$\langle uu' \rangle = \frac{1}{-\omega + \nu_0 k^2}$$

$$\overset{u}{\text{---}} \times \text{---} \overset{u}{\text{---}}$$

$$\langle uu \rangle = \frac{d(k)}{\omega^2 + \nu_0^2 k^4}$$

$$\prec$$

$$V_{ijs} = \frac{i}{2} (k_j \delta_{is} + k_s \delta_{ij})$$

where  $k$  is momentum incident to  $u'$ .

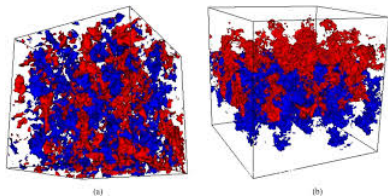


# Wavelet methods in turbulence

$$u_a(b) = \int \frac{1}{a} \bar{g} \left( \frac{x-b}{a} \right) u(x) dx$$

There are a number of reasons for using wavelets in turbulence

- Intermittency
- Self-similarity
- Fractal structure



Pictures from [asme.org](http://asme.org)

... without saying a word on wavelet numeric simulations.

- V.Zimin, *Izv. Atmos. Ocean. Phys.* **17**(1981)941
- M.Vergassola and U.Frisch, *Physica D* **54**(1991)58
- J.F.Muzy, E.Bacry and A.Arneodo, *Phys. Rev. Lett* **67**(1991)3515
- C.Meneveau, *J.Fluid.Mech* **232**(1991)469
- M.Farge, *Ann. rev. fluid. mech.* **24**(1992) 395
- N.Astafieva, *Phys. Usp.* **39**(1996)1085
- and many others ...

# Вейвлет-разложение поля скорости

MA, M.Hnatic, N.E.Kaputkina, *Phys. Rev. E* **98** (2018)033116

$$\lambda \ll$$

mean free path

$$l_0 \ll$$

Kolmogorov scale

$$a < L$$

External scale

Для анализа *локальных* свойств турбулентного поля скорости  $u(t, \mathbf{x})$  применяют непрерывное вейвлет-преобразование (CWT):

$$u_a(\mathbf{b}) = \int_{\mathbb{R}^d} \frac{1}{a^d} \bar{g} \left( \frac{\mathbf{x} - \mathbf{b}}{a} \right) u(\mathbf{x}) d^d \mathbf{x}$$

Обратное преобразование:

$$u(\mathbf{x}) = \frac{1}{C_g} \int_0^\infty \frac{da}{a} \int_{\mathbb{R}^d} \frac{1}{a^d} g \left( \frac{\mathbf{x} - \mathbf{b}}{a} \right) u_a(\mathbf{b}) d^d \mathbf{b},$$

при достаточно слабых ограничениях на базисный вейвлет  $g$ :

$$C_g = \int_0^\infty |\tilde{g}(a)|^2 \frac{da}{a} < \infty.$$

Имеет место частотная фильтрация:  $\tilde{u}_a(\mathbf{k}) = \tilde{\tilde{g}}(a\mathbf{k}) \tilde{u}(\mathbf{k})$

# Многомасштабный производящий функционал

Многомасштабная КТП:

- $\Phi(x)$  выражается через  $\Phi_a(x)$  посредством обратного вейвлет-преобразования.
- Мера интегрирования  $dx \equiv dt d^d x$  меняется на  $d\mu_a = dt \frac{d^d x da}{a}$

Так строится производящий функционал для масштабно-зависимых полей

$$G[A] = e^{W[A]} = \int \mathcal{D}\Phi_a(x) e^{S[\Phi_a] + \int \frac{dx da}{a} A_a(x) \Phi_a(x)}$$

Функциональные производные берутся по мере  $d\mu_a$ :

$$\langle \Phi_{a_1}(x_1) \dots \Phi_{a_n}(x_n) \rangle_c = \frac{\delta^n W[A]}{\delta A_{a_1}(x_1) \dots \delta A_{a_n}(x_n)} \Big|_{A=0}.$$

Случайная сила,  $\delta$ -коррелированная по  $x$  и  $t$ , сосредоточена на внешнем масштабе  $L$ :  $D_{aa'}(\mathbf{k}) \sim \delta(t - t') \delta(a - a') \delta(a - L)$ :

# Диаграммная техника многомасштабной теории

- Интегрирование на внутренних линиях выполняется по мере  $\frac{d\omega}{2\pi} \frac{d^d \mathbf{k}}{(2\pi)^d} \frac{da}{a} \frac{1}{C_g}$
- 2 типа линий: а) Функции Грина  $\langle uu' \rangle$  и б) корреляционные функции  $\langle uu \rangle$ ; они определяются элементами матрицы пропагатора, умноженными на вейвлет-факторы  $\tilde{g}(\mathbf{a}\mathbf{k})$ .
- Каждая линия с импульсом  $\mathbf{k}$  содержит ортогональный проектор  $P_{ij}(\mathbf{k})$ , где  $i$  и  $j$  векторные индексы линии:

$$G_{i\alpha j\beta}^{(0)} = \frac{\tilde{g}(\alpha\mathbf{k}) P_{ij}(\mathbf{k}) \bar{\tilde{g}}(\beta\mathbf{k})}{-\omega + \nu_0 \mathbf{k}^2}, \quad D_{i\alpha j\beta}^{(0)} = \frac{g_0 \nu_0^3 \tilde{g}(\alpha\mathbf{k}) P_{ij}(\mathbf{k}) |\tilde{g}(kL)|^2 \bar{\tilde{g}}(\beta\mathbf{k})}{C_g L |-\omega + \nu_0 \mathbf{k}^2|^2}$$

- Вершины диаграмм задаются выражением  $m_{abc}(k) = \frac{2}{3} (k_b \delta_{ac} + k_c \delta_{ab})$ , умноженным на 3 вейвлет-фактора.
- Внутренние линии диаграмм не содержат масштабов  $a_i$ , меньших минимального масштаба всех внешних линий  $A = \min_e a_e$ .

# Однопетлевая поправка к вязкости

Интегрирование функций Грина по внутренним линиям в диапазоне масштабов  $(A, \infty)$  дает фактор  $f_g^{(2)}(x)$ :

$$f_g(x) = \frac{1}{C_g} \int_x^\infty \frac{|\tilde{g}(a)|^2}{a} da, \quad x = kA$$

The corrections to viscosity are determined by the vertex function  $\Gamma^{(2)}$ , which is inverse to two-point Green function  $\Gamma^{(2)} G^{(2)} = 1$ .

In null order approximation

$$\Gamma_0^{(2)} = \tilde{g}(\alpha \mathbf{k}) P_{ij}(\mathbf{k}) \bar{\tilde{g}}(\beta \mathbf{k}) (-i\omega + \nu_0 \mathbf{k}^2)$$

Turbulent contribution to viscosity:

$$\Gamma^{(2)} = \Gamma_0^{(2)} + \Sigma$$

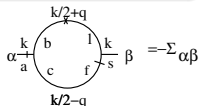
Безразмерный масштаб  
 $\xi = A/L$

Calculations with  $g_1$  wavelet

$$\tilde{g}_1(k) = -i k e^{-\frac{k^2}{2}},$$

$$C_{g_1} = \frac{1}{2},$$

$$f_{g_1}(x) = e^{-x^2}$$





# Диаграмма "собственной энергии" $\Sigma$

$$p^\pm = \frac{k}{2} \pm q$$

$$\Sigma = -\nu_0 g_0 k L \int_0^\infty \frac{y^2 dy}{(2\pi)^2} e^{-(kL)^2(1+4\xi^2)(\frac{1}{4}+y^2)} \times$$

$$\times \int_0^\pi d\theta \sin \theta \frac{L_{as}(k, p^+, p^-) e^{-(kL)^2 y \cos \theta}}{\frac{1}{4} + y^2 - i \frac{\omega}{2\nu_0 k^2}}$$

$$L_{as}(k, p^+, p^-) =$$

$$\frac{\delta_{as}}{4} \left[ \frac{(p^+ k)(p^+ p^-)}{p^{+2}} - (k p^-) \right]$$

$$+ \frac{p_a^+ p_s^-}{2} \left[ \frac{(p^+ k)}{p^{+2}} - \frac{(p^- k)(p^+ p^-)}{p^{-2} p^{+2}} \right]$$

$$+ p_a^- p_s^- \left[ \frac{(k p^-)}{p^{-2}} - \frac{(p^+ k)(p^+ p^-)}{2 p^{-2} p^{+2}} \right]$$

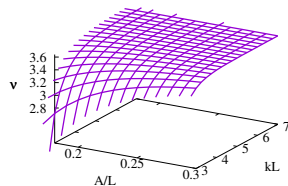
$$- \frac{k_a p_s^-}{2} + p_a^+ k_s \frac{p^+ p^-}{4 p^{+2}} - \frac{p_a^- k_s}{4}$$

# Перенормировка вязкости: $\nu(\xi) = \nu_L (1 - g_L \Sigma^\delta(\xi))$

Можно выразить вклад "собственной энергии" в обратный пропагатор  $\Gamma^{(2)}$  в виде сумму трансверсальной и продольной частей. Трансверсальная часть ответственна за поправки к вязкости:

$$\Sigma_{as}^{\alpha=\beta=A} = \nu_0 g_0 \Sigma^\delta k^2 \left( \delta_{as} - \frac{k_a k_s}{k^2} \right) + \nu_0 g_0 \Sigma^\lambda k_a k_s$$

Величина  $\Sigma^\delta(\xi)$  конечна, и может быть вычислена для малых масштабах  $\frac{A}{L} \equiv \xi \lesssim 1$ , если известны  $\nu_L$  и  $g_L$  на внешнем масштабе  $L$ . Мы их не знаем, и вынуждены применять итерационную процедуру РГ.



The dependence of turbulent viscosity  $\nu_A(k)$  on the observation scale  $\xi = A/L$  and the dimensionless momentum  $x = kL$ .

Calculations were performed in the IR region at the assumption of invariant  $g_A \nu_A^3 = g_L \nu_L^3$ , i.e., small  $K(\xi)$ , and normalization momentum  $x_* = 4\pi$ .

Figure from MA, M.Hnatch, N.E.Kaputkina, *Phys. Rev. E*98(2018)

033116



$$\Sigma^\delta = \frac{kL}{128C_g} \int_0^\infty \frac{y^2 dy}{(2\pi)^2} \frac{e^{-(kL)^2(1+4\xi^2)(\frac{1}{4}+y^2)}}{\frac{1}{4} + y^2 - i\frac{\omega}{2\nu_0 k^2}} \times \int_{-1}^1 d\mu \frac{(1 - \mu^2)(8\mu^2 y^2 + \mu(8y^3 - 10y) + 4y^2 + 1)}{\left(\frac{1}{4y} + y - \mu\right) \left(\frac{1}{4y} + y + \mu\right)} e^{-(kL)^2 y \mu}$$

# Уравнения ренормализационной группы

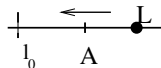
Сетка масштабов

$$\frac{l_0}{L} = \xi_0 < \dots < \xi_{L-2} < \xi_{L-1} < \xi_L = 1$$

$$\xi_k = \xi_0 \delta^k, \delta > 1, \ln \xi_k = \ln \xi_0 + k \ln \delta$$

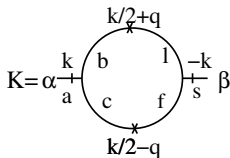
Итерационная процедура:

$$\frac{\nu_{k-1} - \nu_k}{\nu_k} = -g(\xi_k) \Sigma(\xi_{k-1}) \leftrightarrow \frac{d \ln \nu}{d \ln \xi} = g(\xi) \frac{\Sigma(\xi)}{\ln \delta}$$



Force renormalization  $D(\xi) = g(\xi) \nu^3(\xi) / L$ :

$$\frac{D_{L-1} - D_L}{D_L} = D_L * \text{OneLoop}K(\xi_{L-1}).$$



$$\frac{d \ln \nu}{d \ln \xi} = g(\xi) \frac{\Sigma(\xi)}{\ln \delta}, \quad \frac{d \ln D}{d \ln \xi} = -\frac{K(\xi)}{\ln \delta}$$

$$K(\xi) = \frac{(kL)^3}{16} \int \frac{y^4 dy}{(2\pi)^2} d\mu \frac{e^{-2(Lk)^2(1+2\xi^2)(\frac{1}{4}+y^2)} (\frac{1}{4}+y^2)}{\left(\frac{1}{4}+y^2+i\frac{2k_0}{\nu_0 k^2}\right) \left(\frac{1}{4}+y^2-i\frac{2k_0}{\nu_0 k^2}\right)} \frac{(1-\mu^2)(8y^2\mu^2+4y^2+1)}{\left(\frac{1}{4}+y^2-y\mu\right) \left(\frac{1}{4}+y^2+y\mu\right)}$$

$$D(\xi) = g(\xi)\nu^3(\xi)/L \Rightarrow \ln g(\xi) = \ln D + \ln L - 3 \ln \nu(\xi)$$

$g(\xi)$  можно понимать как бегущую константу связи. Уравнение РГ

$$\frac{d \ln g}{d \ln \xi} = -\frac{K(\xi)}{\ln \delta} - 3g(\xi) \frac{\Sigma(\xi)}{\ln \delta}$$

имеет решение  $g(\xi) = \frac{g_L e^{\int_{\xi}^1 \frac{d\eta}{\eta} K(\eta)}}{1 - 3g_L \int_{\xi}^1 \frac{d\xi'}{\xi'} \Sigma(\xi') e^{\int_{\xi'}^1 \frac{d\eta}{\eta} K(\eta)}}$ .

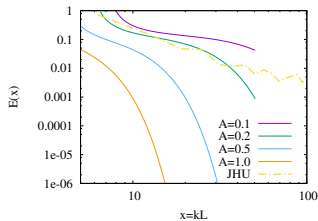
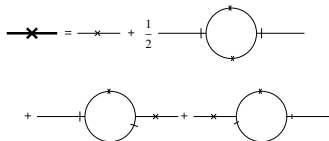
Поскольку  $K(\xi) \ll 1$ ,  $K(\xi) \ll \Sigma(\xi)$  коррелятор силы можно считать практически константой

$$g(\xi) = \frac{g_L}{1 - 3g_L \int_{\xi}^1 \frac{\Sigma(\eta)}{\ln \delta} \frac{d\eta}{\eta}}, \quad \ln \frac{\nu(\xi)}{\nu_L} = - \int_{\xi}^1 \frac{g_L}{1 - 3g_L \int_{\xi'}^1 \frac{\Sigma(\eta)}{\ln \delta} \frac{d\eta}{\eta}} \frac{\Sigma(\xi')}{\ln \delta} \frac{d\xi'}{\xi'}$$

где  $g_0 \nu_0^3 \approx g_L \nu_L^3$ .

# Вычисление спектра энергии

Парный коррелятор поля скорости  $\langle \tilde{u}_a(\omega, \mathbf{k}) \tilde{u}'_{a'}(\omega', \mathbf{k}') \rangle$  в однопетлевом приближении



From *Phys. Rev. E* 98(2018)033116

$$\begin{aligned}
 C(k, \xi) = & \frac{g_0 \nu_0^3}{\nu_A(k)} L e^{-(Lk)^2} + \frac{(g_0 \nu_0^3)^2 (Lk)L}{128 \nu_A^4(k)} e^{-2\xi^2(Lk)^2} \int_0^\infty \frac{y^2 dy}{(2\pi)^2} \frac{e^{-2(kL)^2(1+2\xi^2)(\frac{1}{4}+y^2)}}{1 + \frac{1}{2}(\frac{1}{4} + y^2)} \\
 \times & \int_{-1}^1 d\mu \frac{(1 - \mu^2)(8\mu^2 y^2 + 4y^2 + 1)}{(\frac{1}{4} + y^2 - y\mu)(\frac{1}{4} + y^2 + y\mu)} + \frac{(g_0 \nu_0^3)^2 (Lk)L}{32 \nu_A^4(k)} \\
 \times & e^{-(Lk)^2(1+2\xi^2)} \int_0^\infty \frac{y^4 dy}{(2\pi)^2} \frac{e^{-(kL)^2(1+4\xi^2)(\frac{1}{4}+y^2)}}{1 + 2(\frac{1}{4} + y^2)} \\
 \times & \int_{-1}^1 d\mu \frac{(\mu^2 - 1)(8\mu^2 y^2 + 2\mu y(4y^2 - 5) + 4y^2 + 1)}{(\frac{1}{4} + y^2 - y\mu)(\frac{1}{4} + y^2 + y\mu)} e^{-(kL)^2 y \mu}
 \end{aligned}$$



Спасибо за внимание !